

К. т. н. А. Н. ЛУГИН, М. М. ОЗЕМША

Россия, г. Пенза, НИИ электронно-механических приборов
E-mail: niiemp@penza.comДата поступления в редакцию
10.04—21.08 2006 г.Оппонент к. т. н. В. Г. СПИРИН
(АПИ, фил. НГТУ, г. Арзамас)

ЭЛЕКТРИЧЕСКОЕ СОПРОТИВЛЕНИЕ КОНТАКТА ТОНКОПЛЕНОЧНЫХ РЕЗИСТОРОВ

Предложена физическая модель и эквивалентная электрическая схема определения электрического сопротивления контакта и его составляющих, распределения тока и потенциала по слоям.

Проблема исследования характеристик тонкопленочного контакта практически всегда актуальна в микроэлектронике, одним из элементов которой являются тонкопленочные резисторы (ТПР) [1—8]. Публикации последних лет [9—11] свидетельствуют о ее значимости и в настоящий период. В то же время имеющиеся теоретические исследования пока не дают полного ответа по количественной оценке электрических характеристик составляющих контактного узла (распределения токов, потенциалов, сопротивления с точным указанием наиболее нагруженных, а значит наиболее нестабильных и ненадежных мест), а их рекомендации не позволяют в достаточной мере в целом произвести оценку конструкции и технологии при проектировании особостабильных тонкопленочных резисторов.

Такое положение объясняется тем, что сопротивление контакта, которое является составляющей полного сопротивления ТПР, определяется в настоящее время в основном сопротивлением металлизации и, реже, сопротивлением переходного слоя, которые имеют температурную и временную стабильность много ниже аналогичных характеристик материала резистивного слоя. Так, в работе [11] сопротивление контакта оценивается величиной сопротивления металлизации на основе системы "ванадий—алюминий", равной 0,39—2,0 Ом. Температурный коэффициент сопротивления (ТКС) или температурная нестабильность этих металлов достигает величины $(3400\ldots4700)\cdot10^{-6} 1^\circ\text{C}$ и ограничивает получение низких значений температурного коэффициента сопротивления ТПР в целом.

В то же время сопротивление контакта состоит из сопротивления металлизации, переходного слоя и резистивного слоя, находящихся под металлизацией. Четкого понимания размеров вклада каждой составляющей в сопротивление контакта, а также методов их определения, в настоящее время нет.

В основном все известные теоретические исследования построены на математических расчетах и анализе плоских моделей, представленных в работах [1, 3], а затем в работе [5, с. 367—373]. По-

добный подход к расчету изложен в работах [2, 12, 13]. В них не приводится информация о величине составляющих контактного сопротивления — сопротивления тонких пленок, образующих контакт, сопротивления переходного слоя, а при наличии подслоя — и его сопротивления.

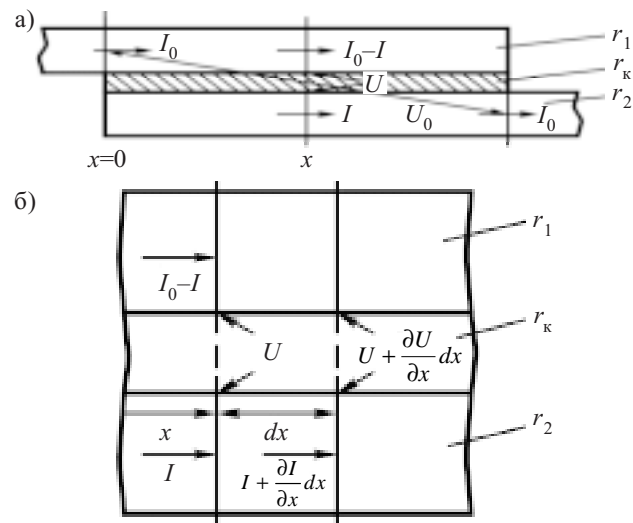


Рис. 1. Одномерная расчетная модель контактного узла [1]: *а* — условный разрез контактного узла; *б* — отрезок контактного узла; I_0 — ток на входе (выходе) контактного узла; U_0 — падение напряжения на контактном узле; U — текущее значение падения напряжения на переходном слое; r_1, r_2 — погонные сопротивления слоя металлизации и резистивного слоя; r_k — сопротивление переходного слоя

Принятые упрощенные физико-математические одномерные модели позволяют проводить исследование только в одном измерении — по длине контакта (рис. 1). Распределение токов и потенциалов по толщине слоев и, тем более, по их ширине не анализируется. Моделирование с применением эквивалентных электрических схем (рис. 2) также одномерно, упрощенно и в неполной мере отражает происходящие процессы распределения токов и потенциалов в реальном объемном контактном узле.

Необходимо отметить, что по этой же причине и использование в упомянутых моделях и в расчетах удельного электрического сопротивления в виде удельного поверхностного и погонного сопротивления тонких пленок, погонной проводимости переходного слоя для тока в направлении, перпендикулярном этому слою, может отвечать только тем упрощенным

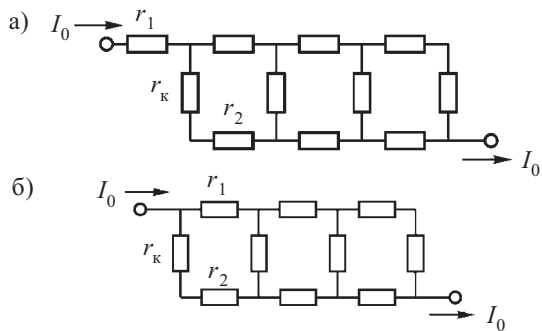


Рис. 2. Модель контактного узла в виде эквивалентной электрической схемы [3]:
а — Т-образная схема; б — П-образная схема

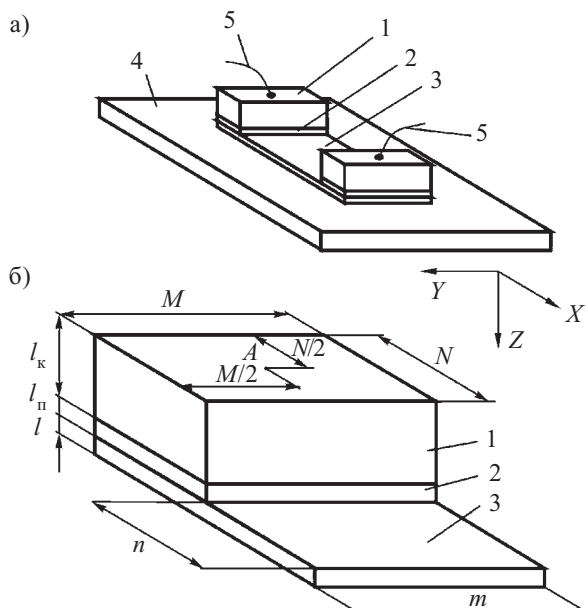


Рис. 3. Схематичное изображение тонкопленочного резистора (а) и упрощенной объемной конструкции контактного узла тонкопленочного резистора (б):

1 — металлизация контакта; 2 — подслой; 3 — резистивный слой;
4 — диэлектрическая подложка; 5 — соединительные проводники;
 M, N, l_k, l_p, l — линейные размеры контактного узла; m, n — линейные размеры участка резистивной пленки, примыкающей к контакту; A — точка присоединения соединительного проводника и вхождения тока

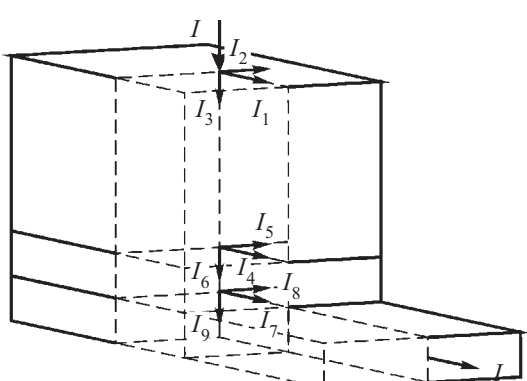


Рис. 4. Схематичное представление распределения тока в контактном узле:
I — входящий (выходящий) ток; $I_1 \dots I_9$ — составляющие тока по осям X, Y, Z в слоях контактного узла

щенным моделям, которые исследовались. В реальном же контакте в общем случае направление тока имеет пространственный характер, и задача должна решаться с учетом трех взаимноперпендикулярных направлений распространения тока.

Необходимость создания ТПР с допускаемым отклонением и нестабильностью сопротивления не более $\pm 0,001\%$ и ТКС $\pm 1 \cdot 10^{-6} 1/\text{°C}$ выдвигает задачу углубленного изучения указанных проблем, и прежде всего проблемы оценки величины составляющих контактного сопротивления и распределения токов и потенциалов в контакте.

Для решения поставленной задачи были рассмотрены схематичные изображения тонкопленочного резистора и объемной конструкции контактного узла, характерные для большинства ТПР и многих микросхем (рис. 3). Резистор состоит из металлизации 1, подслоя 2, резистивного слоя 3 с величиной удельного объемного сопротивления материалов соответственно ρ_k, ρ_p, ρ , диэлектрической подложки 4, соединительных проводников 5. Резистивный слой, находящийся под металлизацией и подслоем, является составной частью контактного узла (контакта). В общем случае подслой можно идентифицировать и как адгезионный, и как барьерный, имеющие различное назначение, а также как переходной, образующийся между металлизацией и резистивным слоем.

Для проведения дальнейшего расчета и анализа представим распределение тока в контактном узле в виде рис. 4.

Поскольку применить методику расчета, изложенную в работе [1], было достаточно сложно, для анализа параметров контактного узла использовалась методика, подобная изложенной в работе [14]. Для этого весь объем конструкции по осям X, Y, Z был разделен на кубики, величина ребра l_p которых кратна минимальному размеру толщин слоев l_k, l_p, l или (при $l < l_p < l_k$, что характерно для ТПР) величине $l_p = \frac{l}{p}$, где $p=2, 3 \dots$.

Далее каждый из кубиков был представлен в виде резистора с сопротивлением, эквивалентным удельному объемному сопротивлению слоя. В результате была получена объемная модель в виде эквивалентной электрической схемы замещения контактного узла (рис. 5).

Для расчета сопротивления, токов и потенциалов отдельных участков контактного узла, так же, как и в работе [14], использовался метод узловых потенциалов [15], а для решения полученных и представленных в матричной форме уравнений — метод Гаусса [16].

Расчет параметров контактного узла проводился с учетом толщин металлизации и резистивного слоя, близких к реальным, — l_k до 2 мкм, l до 0,1 мкм (1000 Å). Толщина подслой принималась равной $2 \frac{l}{p}$ от толщины резистивного слоя.

Исходную величину удельного поверхностного сопротивления материала принимали $\rho_s = 500 \Omega/\square$; $\rho_{s_u} = 5 \Omega/\square$ и $\rho_{s_k} = 0,05 \Omega/\square$ соответственно для резистивного слоя, подслой и металлизации. Это также

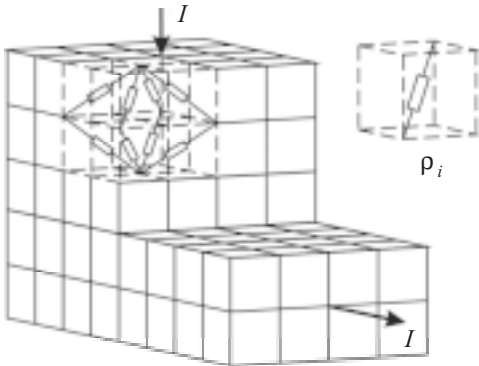


Рис. 5. Объемная модель в виде эквивалентной электрической схемы замещения контактного узла:
 ρ_i — объемное удельное сопротивление i -го слоя контактного узла; I — входящий (выходящий) ток

соответствует величинам, наиболее часто используемым в производстве прецизионных ТПР из кермета K20C, подслоя ванадия и алюминиевой металлизации. Удельное объемное сопротивление слоев определялось в соответствии с выражением $\rho_{S_i} = \rho_i / l_i$ [17, с. 56], где ρ_{S_i} , ρ_i , l_i — удельное поверхностное и удельное объемное сопротивление и толщина слоев, соответственно. То есть $\rho_k = \rho_{S_k} l_k$, $\rho_n = \rho_{S_n} l_n$, $\rho = \rho_s l$ или, с учетом принятой модели,

$$\rho_k = \rho_{S_k} \frac{l_k}{l} p l_p; \quad \rho_n = \rho_{S_n} \frac{l_n}{l} p l_p; \quad \rho = \rho_s p l_p.$$

В этом случае соотношение объемного сопротивления для каждого слоя в виде ρ_i/ρ составит:

1 — для металлизации;

$$\frac{\rho_n}{\rho_k} = \frac{\rho_{S_n} l_n}{\rho_{S_k} l_k} \text{ — для подслоя;}$$

$$\frac{\rho}{\rho_k} = \frac{\rho_s l}{\rho_{S_k} l_k} \text{ — для резистивного слоя.}$$

Расчет был проведен для различных величин геометрических размеров контактного узла и различных значений удельного сопротивления подслоя в пределах от удельного сопротивления металлизации до удельного сопротивления резистивного слоя. Ограничения, накладываемые в расчете, определяются возможностью применяемой ПЭВМ. В данной работе был проведен расчет контактов с ограничением по длине до 7 мкм и по ширине до 2 мкм. Вход тока в контакт располагался в центре верхней поверхности, выход — по сечению резистивного слоя вне контакта.

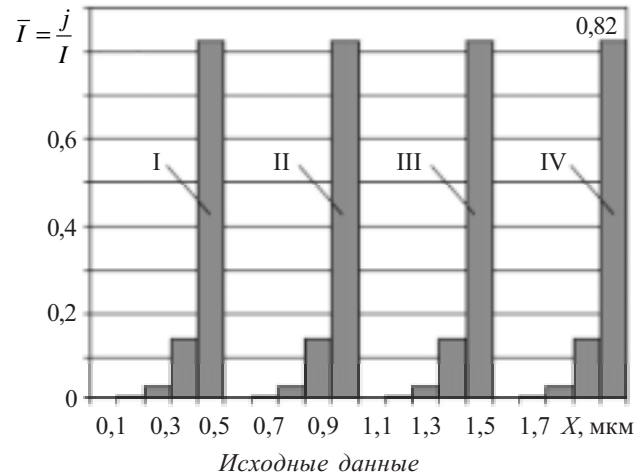
Соотношение линейных размеров и удельного объемного сопротивления при расчете для каждого слоя показано на нижеприведенных рисунках в виде таблиц

$$\frac{N}{l} p, \frac{M}{l} p, \frac{l_i}{l} p,$$

$$\text{где } l_i = l_k, l_n, l; \quad \frac{\rho_i}{\rho} = 1, \frac{\rho_n}{\rho_k}, \frac{\rho}{\rho_k} \text{ или } \frac{\rho_i}{\rho} = 1, \frac{\rho_{S_n} l_n}{\rho_{S_k} l_k}, \frac{\rho_s l}{\rho_{S_k} l_k}$$

— для металлизации, подслоя и резистивного слоя, соответственно; C — изменяемое соотношение.

Некоторые из основных полученных данных расчета представлены на рис. 6—9.



$$M=1,0 \text{ мкм}; p=2; C = \frac{N}{l} p$$

Рис. 6. Распределение тока j по длине перехода из подслоя в резистивный слой в зависимости от длины N контакта: I — $N=0,5$ мкм; II — $N=1$ мкм; III — $N=1,5$ мкм; IV — $N=2,0$ мкм

На рис. 6 приведены графики распределения тока j по длине перехода из подслоя в резистивный слой в зависимости от длины контактной площадки N при постоянных остальных размерах и удельном сопротивлении слоев. Как можно заключить, 82% величины тока переходит в резистивный слой на длине конечного участка контакта, равной 0,1 мкм, независимо от длины контакта. Применительно к наиболее распространенной длине контактной площадки в 100 мкм это составит 10^{-3} или 10^{-3} от площади 10^4 мкм² при размерах контакта 100×100 мкм. Это очень близко к экспериментальным данным (10^{-6} — 10^{-7} от площади 60 мм²), приведенным в публикации [4], при размерах контакта 6×10 мм.

На рис. 7 приведены графики распределения тока j по длине перехода из подслоя в резистивный слой в зависимости от ширины контакта M , толщины металлизации l_k и удельного сопротивления подслоя ρ_n . Как можно отметить, 82% величины тока переходит в резистивный слой на длине конечного участка контакта, также равной 0,1 мкм, независимо от изменяемых параметров M , l_k , ρ_n .

На рис. 8 приведен график изменения тока j на длине конечного участка контакта в 0,1 мкм в зависимости от ширины контакта.

На рис. 9 показан график изменения тока j по толщине резистивного слоя l в сечении, перпендикулярном поверхности этого слоя, на границе окончания контакта. Как видно, входящий в резистивный слой ток неравномерен по толщине этого слоя — в верхней

ЭЛЕКТРОННЫЕ СРЕДСТВА: ИССЛЕДОВАНИЯ, РАЗРАБОТКИ

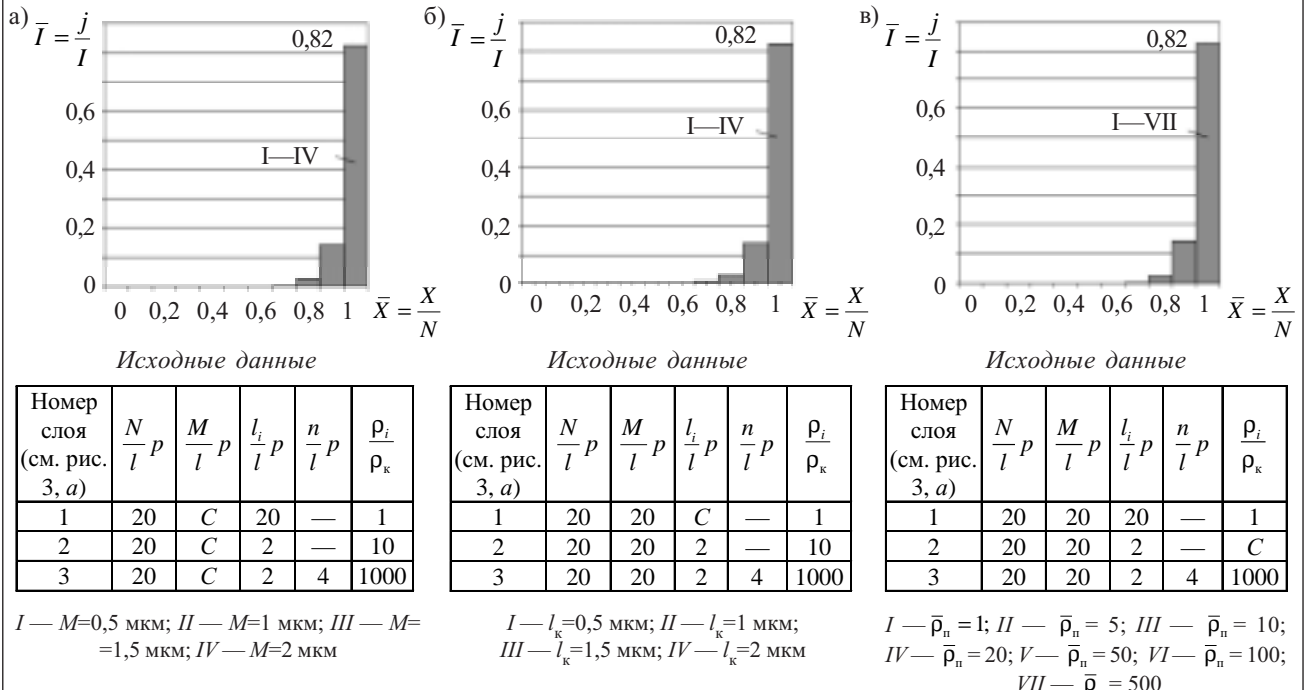
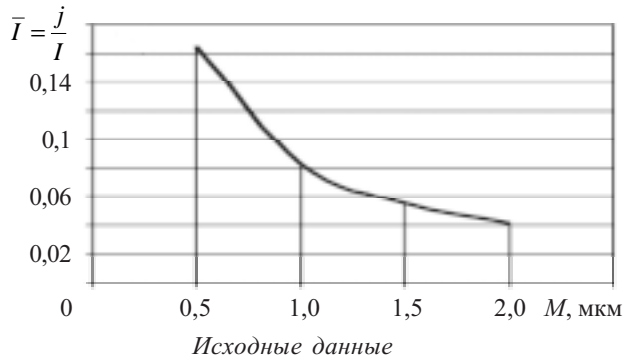


Рис. 7. Распределение тока j по длине перехода из подслоя в резистивный слой в зависимости от ширины контакта M (а), толщины металлизации l_k (б) и удельного объемного сопротивления подслоя ρ_n (в):

$$N=1,0 \text{ мкм}; p=2; X \text{ — текущий размер длины}; \bar{X} \text{ — относительный размер длины}; C = \bar{\rho}_n = \frac{\rho_n}{\rho_k}$$



$$C = \frac{M}{l} p; p = 2$$

Рис. 8. Изменение тока j на длине и по ширине конечного участка контакта в 0,1 мкм при его переходе в резистивный слой в зависимости от ширины контакта

десятой части ток составляет 0,24 общего тока через весь слой, что более чем в 3 раза больше тока нижней десятой части.

Таким образом, наиболее нагруженным участком резистора по мощности рассеяния и плотности тока в контакте будет зона перехода тока в резистивный слой, ограниченная величиной 0,1 мкм по длине перехода на конечном участке контакта и около 0,2 от толщины резистивного слоя по глубине в сечении по гра-

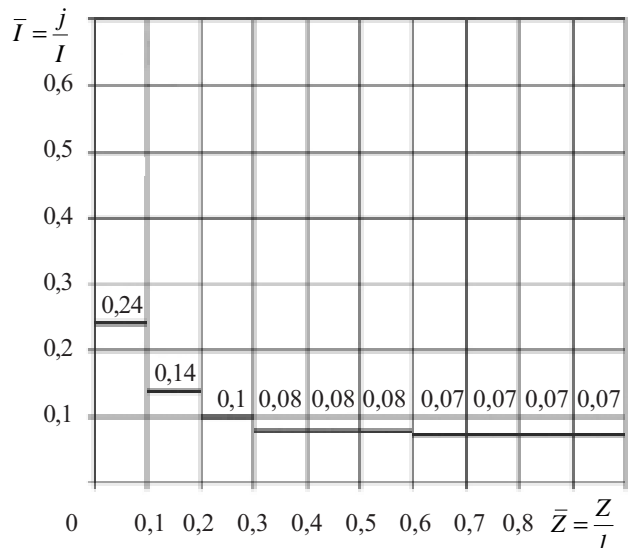


Рис. 9. Распределение тока j по участкам толщины резистивного слоя в сечении на границе окончания контакта. Здесь Z — текущий размер толщины; \bar{Z} — относительный размер толщины; $p=20$

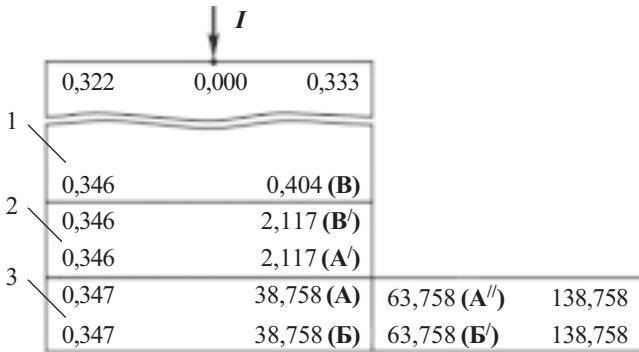
нице контакта. При этом на данном участке удельная мощность рассеяния увеличивается практически на порядок.

На **рис. 10** представлено в сокращенном виде распределение потенциала по крайним верхним и нижним горизонтальным расчетным слоям металлизации, подслоя и резистивного слоя для исходных данных, указанных в таблице при $I=1$ и $\rho_s=500 \text{ Ом/м}$. На **рис. 11** для тех же исходных данных представлено

ЭЛЕКТРОННЫЕ СРЕДСТВА: ИССЛЕДОВАНИЯ, РАЗРАБОТКИ

a)	<table border="1" style="border-collapse: collapse; text-align: center;"> <tr><td>0,324</td><td>0,330</td><td>0,334</td></tr> <tr><td>0,322</td><td>$\xrightarrow{U=0,000}$</td><td>0,333</td></tr> <tr><td>0,324</td><td>0,330</td><td>0,334</td></tr> </table>	0,324	0,330	0,334	0,322	$\xrightarrow{U=0,000}$	0,333	0,324	0,330	0,334	b)	<table border="1" style="border-collapse: collapse; text-align: center;"> <tr><td>0,346</td><td>0,357</td><td>0,404</td></tr> <tr><td>0,346</td><td>0,357</td><td>0,404</td></tr> <tr><td>0,346</td><td>0,357</td><td>0,404</td></tr> </table>	0,346	0,357	0,404	0,346	0,357	0,404	0,346	0,357	0,404	<table border="1" style="border-collapse: collapse; width: 100%; text-align: center;"> <thead> <tr> <th colspan="6">Исходные данные</th></tr> <tr> <th>Номер слоя (см. рис. 3, a)</th><th>$\frac{N}{l} p$</th><th>$\frac{M}{l} p$</th><th>$\frac{l_i}{l} p$</th><th>$\frac{n}{l} p$</th><th>$\frac{\rho_i}{\rho_k}$</th></tr> </thead> <tbody> <tr> <td>1</td><td>20</td><td>20</td><td>20</td><td>—</td><td>1</td></tr> <tr> <td>2</td><td>20</td><td>20</td><td>2</td><td>—</td><td>10</td></tr> <tr> <td>3</td><td>20</td><td>20</td><td>2</td><td>4</td><td>1000</td></tr> </tbody> </table>					Исходные данные						Номер слоя (см. рис. 3, a)	$\frac{N}{l} p$	$\frac{M}{l} p$	$\frac{l_i}{l} p$	$\frac{n}{l} p$	$\frac{\rho_i}{\rho_k}$	1	20	20	20	—	1	2	20	20	2	—	10	3	20	20	2	4	1000
0,324	0,330	0,334																																																						
0,322	$\xrightarrow{U=0,000}$	0,333																																																						
0,324	0,330	0,334																																																						
0,346	0,357	0,404																																																						
0,346	0,357	0,404																																																						
0,346	0,357	0,404																																																						
Исходные данные																																																								
Номер слоя (см. рис. 3, a)	$\frac{N}{l} p$	$\frac{M}{l} p$	$\frac{l_i}{l} p$	$\frac{n}{l} p$	$\frac{\rho_i}{\rho_k}$																																																			
1	20	20	20	—	1																																																			
2	20	20	2	—	10																																																			
3	20	20	2	4	1000																																																			
b)	<table border="1" style="border-collapse: collapse; text-align: center;"> <tr><td>0,346</td><td>0,356</td><td>2,117</td></tr> <tr><td>0,346</td><td>0,356</td><td>2,117</td></tr> <tr><td>0,346</td><td>0,356</td><td>2,117</td></tr> </table>	0,346	0,356	2,117	0,346	0,356	2,117	0,346	0,356	2,117	c)	<table border="1" style="border-collapse: collapse; text-align: center;"> <tr><td>0,346</td><td>0,363</td><td>2,117</td></tr> <tr><td>0,346</td><td>0,363</td><td>2,117</td></tr> <tr><td>0,346</td><td>0,363</td><td>2,117</td></tr> </table>	0,346	0,363	2,117	0,346	0,363	2,117	0,346	0,363	2,117	<table border="1" style="border-collapse: collapse; width: 100%; text-align: center;"> <tr><td>0,347</td><td>0,363</td><td>38,758</td><td>63,758</td><td>138,758</td></tr> <tr><td>0,347</td><td>0,363</td><td>38,758</td><td>63,758</td><td>138,758</td></tr> <tr><td>0,347</td><td>0,363</td><td>38,758</td><td>63,758</td><td>138,758</td></tr> </table>					0,347	0,363	38,758	63,758	138,758	0,347	0,363	38,758	63,758	138,758	0,347	0,363	38,758	63,758	138,758															
0,346	0,356	2,117																																																						
0,346	0,356	2,117																																																						
0,346	0,356	2,117																																																						
0,346	0,363	2,117																																																						
0,346	0,363	2,117																																																						
0,346	0,363	2,117																																																						
0,347	0,363	38,758	63,758	138,758																																																				
0,347	0,363	38,758	63,758	138,758																																																				
0,347	0,363	38,758	63,758	138,758																																																				
d)	<table border="1" style="border-collapse: collapse; text-align: center;"> <tr><td>0,347</td><td>0,363</td><td>38,758</td><td>63,758</td><td>138,758</td></tr> <tr><td>0,347</td><td>0,363</td><td>38,758</td><td>63,758</td><td>138,758</td></tr> <tr><td>0,347</td><td>0,363</td><td>38,758</td><td>63,758</td><td>138,758</td></tr> </table>	0,347	0,363	38,758	63,758	138,758	0,347	0,363	38,758	63,758	138,758	0,347	0,363	38,758	63,758	138,758	e)	<table border="1" style="border-collapse: collapse; text-align: center;"> <tr><td>0,347</td><td>0,377</td><td>38,758</td><td>63,758</td><td>138,758</td></tr> <tr><td>0,347</td><td>0,377</td><td>38,758</td><td>63,758</td><td>138,758</td></tr> <tr><td>0,347</td><td>0,377</td><td>38,758</td><td>63,758</td><td>138,758</td></tr> </table>	0,347	0,377	38,758	63,758	138,758	0,347	0,377	38,758	63,758	138,758	0,347	0,377	38,758	63,758	138,758	<table border="1" style="border-collapse: collapse; width: 100%; text-align: center;"> <tr><td>0,347</td><td>0,377</td><td>38,758</td><td>63,758</td><td>138,758</td></tr> <tr><td>0,347</td><td>0,377</td><td>38,758</td><td>63,758</td><td>138,758</td></tr> <tr><td>0,347</td><td>0,377</td><td>38,758</td><td>63,758</td><td>138,758</td></tr> </table>					0,347	0,377	38,758	63,758	138,758	0,347	0,377	38,758	63,758	138,758	0,347	0,377	38,758	63,758	138,758			
0,347	0,363	38,758	63,758	138,758																																																				
0,347	0,363	38,758	63,758	138,758																																																				
0,347	0,363	38,758	63,758	138,758																																																				
0,347	0,377	38,758	63,758	138,758																																																				
0,347	0,377	38,758	63,758	138,758																																																				
0,347	0,377	38,758	63,758	138,758																																																				
0,347	0,377	38,758	63,758	138,758																																																				
0,347	0,377	38,758	63,758	138,758																																																				
0,347	0,377	38,758	63,758	138,758																																																				

Рис. 10. Распределение потенциала по крайним верхним и нижним горизонтальным расчетным слоям металлизации, подслоя и резистивного слоя:
 а, в, д — верхние слои; б, г, е — нижние слои



распределение потенциала по слоям контакта (металлизация—подслой—резистивный слой) в вертикальном центральном сечении.

Из представленных рис. 10 и 11 видно, что электрический потенциал в различных точках объема контакта различен, и поэтому точное измерение или определение разности потенциалов по экспериментальным данным между слоями, по крайней мере, достаточно сложно, так же, как и определение электрического сопротивления, вносимого каждым слоем в отдельности.

Поэтому для оценки составляющих электрического сопротивления предлагается использовать сведения о величине потенциала в сечении АБ на границе контакта (которая в какой-то степени эквивалентна току j в этом сечении, равному входному току) и расчетное значение потенциала точек В и A' для каждого слоя. Тогда электрическое сопротивление всего контакта между точкой входа I и сечением АБ, как это сделано в работе [1] при определении эффективного сопротивления, можно найти из выражения

$$R = \frac{U_A}{I},$$

где R — общее электрическое сопротивление контакта;
 U_A — разность потенциалов между точкой А и входом тока I в контакт.

Оценку сопротивления составляющих электрического сопротивления по слоям ориентировочно мож-

Рис. 11. Распределение потенциала по слоям контакта в вертикальном центральном сечении. Значения потенциалов даны для крайних верхних и нижних горизонтальных расчетных слоев:
 1 — металлизация; 2 — подслой; 3 — резистивный слой; А, А', А'', Б, Б'; В, В' — близлежащие точки слоев в эквивалентной электрической схеме; Г, Г' — точки выхода тока из резистивного слоя в эквивалентной электрической схеме

но произвести по соотношению соответствующих слоям потенциалов точек A' и B относительно точки входа и рассчитанной ранее величины сопротивления контакта.

На рис. 12 представлены результаты расчета сопротивления участка резистивного слоя, ограниченного kontaktом, и участков металлизации и подслоя, вносящихdestabiliziruyushiy faktor v parametry rezistora (poskolyku material rezistivnogo sloya imet vremennuyu i temperaturnuyu stabilitnost' mnogo luchshe, chem material metalлизации i podsloya).

Общее сопротивление металлизации и подслоя R_{kp} в рассматриваемом случае, т. е. при $l=0,1$ мкм и $M=N=l_k=1$ мкм, равно около 2,1 Ом и остается практически постоянным в широком диапазоне удельного сопротивления (5—500 Ом/) резистивного слоя. Практически постоянно и соотношение сопротивления, которое вносит резистивный слой под контактом R , и удельного поверхностного сопротивления резистивного слоя, которое составляет для рассмотренного случая 0,078.

Если перейти к контактной площадке с размерами $N=M=100$ мкм, то сопротивление металлизации и подслоя составит 0,021 Ом, а сопротивление резистивного участка контакта составит 0,39 Ом, что ограничивает создание прецизионных ТПР с малым значением электрического сопротивления при высоком удельном поверхностном сопротивлении резистивного слоя. В то же время эти расчеты показывают, что

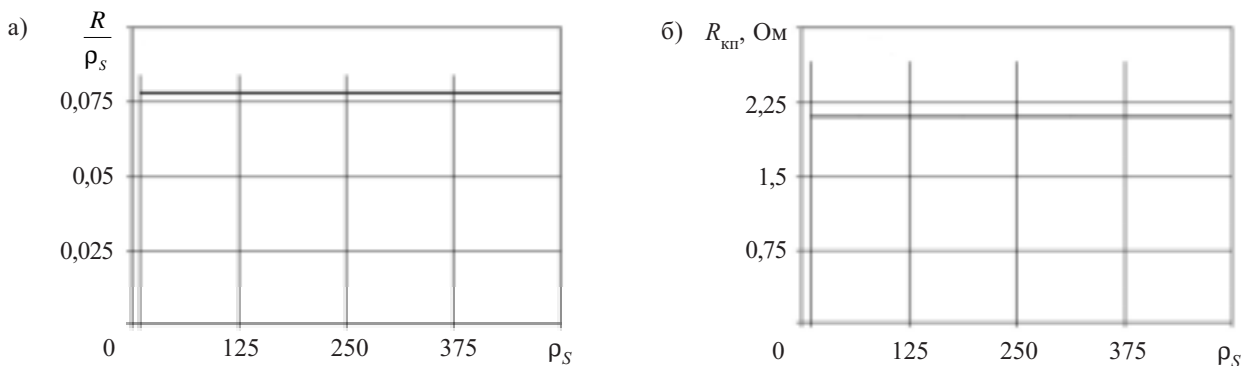


Рис. 12. Сопротивление резистивного участка (а) и общее сопротивление металлизации и подслоя (б) контакта в зависимости от удельного сопротивления резистивного слоя

при $\rho_s=500 \text{ Ом/м}$ сопротивление дестабилизирующих участков составляет менее 5% полного сопротивления контактного узла.

По результатам исследований можно сделать следующие выводы.

Предложенная физическая модель и эквивалентная электрическая схема контакта тонкопленочных резисторов (ТПР) позволяют:

- определить распределение тока и потенциала по объемной конструкции контакта ТПР;
- произвести оценку общего сопротивления контакта и отдельных участков, составляющих контакт, — резистивного слоя, металлизации, подслоя;
- показать, что распределение тока по толщине l резистивной пленки неравномерно; расчетный ток в приграничной зоне контакта в верхнем слое резистивной пленки многократно (для приведенных расчетов более чем в 2,4 раза на длине 0,01 мкм) превышает значение для равномерного распределения тока, что может оказаться на изменении стабильности этой пленки из-за локального резкого нагрева от повышенной мощности рассеяния;
- на этапе проектирования получить достоверные данные об электрических характеристиках составляющих тонкопленочного контакта (сопротивлении, распределении тока и потенциала) и использовать их при проектировании ТПР или других микроэлектронных устройств.

ИСПОЛЬЗОВАННЫЕ ИСТОЧНИКИ

1. Кресин О. М., Харинский А. Л. Математический анализ тонкопленочного контакта // Вопросы радиоэлектроники. Сер. Детали и компоненты аппаратуры.— 1964.— Вып. 5.— С. 15—21.
2. Ермолаев Ю. П., Каримова Ф. Г. Исследование переходных контактов между проводящими и резистивными пленками // Обмен опытом в радиоэлектронной промышленности.— 1965.— № 4.— С. 15—17.
3. Кресин О. М., Рогинский И. М., Харинский А. Л. Экспериментальное исследование пленочного контакта (на моделях) // Электронная техника. Сер. Микроэлектроника.— 1967.— Вып. 5.— С. 96—100.
4. Кайнов С. В., Алексеева Э. А. Исследование условий получения надежного пленочного контакта // Электронная техника. Сер. Радиокомпоненты.— 1967.— Вып. 5.— С. 120—124.
5. Харинский А. Л. Основы конструирования элементов радиоаппаратуры.— Л.: Энергия, 1971.
6. Lohetal W. M. Modeling and measurement of contact resistances // IEEE. Transactions on Electron Devices.— 1987.— Vol. ED-34, N 3.— P. 512—524.
7. Мартюшов К. И., Зайцев Ю. В., Тихонов А. И. Методы расчёта резисторов.— М.: Энергия, 1971.
8. Задде В. В., Зайцева А. К. Измерение переходного сопротивления контакта металл—полупроводник // Приборы и техника эксперимента.— 1969.— № 4.— С. 191—192.
9. А. с. 1538703 России. Способ определения переходного сопротивления контакта к тонкопленочным резисторам с электродами / Г. Ф. Жуков, В. К. Смолин.— 1995.— Бюл. № 34.
10. Столовой М. А. Особенности топологического расчета планарных полупроводниковых резисторов // Петербургский журнал электронники.— 2001.— № 1.— С. 52—53.
11. Спирин В. Г. Оценка влияния сопротивления электродов на погрешность тонкопленочного резистора // Вестник МВБО. Сер. Высокие технологии в радиоэлектронике, информатике, связи.— 2003.— Вып. 1.— С. 11—14.
12. Ермолаев Ю. П. Переходное сопротивление фигурных контактов между проводящими и резистивными пленками // Изв. вузов. Радиотехника.— 1966.— Т. 9, № 4.— С. 553—557.
13. Смирнов В. И., Матта Ф. Ю. Теория конструкций контактов в электронной аппаратуре.— М.: Сов. радио, 1974.
14. Лугин А. Н., Оземша М. М. Тонкопленочные резисторы с функциональным распределением удельного поверхностного сопротивления // Изв. вузов. Электроника.— 2002.— № 1.— С. 44—48.
15. Сигорский В. П. Анализ электронных схем.— Киев: Гос. изд-во технич. лит., 1964.
16. Амосов А. А., Дубинский Ю. А., Копченова Н. В. Вычислительные методы для инженеров.— М.: Высшая школа, 1994.
17. Недорезов В. Г. Керметные толстопленочные резистивные материалы.— Пенза: ПГУ, 2002.